



DX-MB 2337 – 18. Januar 2023

DX Mitteilungsblatt

DARC-Referat DX

Editor: Andreas Salder, DK5ON

(E-Mail: dxmb@darcdxhf.de)

(<https://www.darc.de/der-club/referate/dx/>)



Wöchentlich erscheinende DX-Mitteilungen des DARC – Referates DX

DX - Aktivitäten



HS, THAILAND:

Manu F5LIT wird unter dem Rufzeichen **HS0ZPU** in der Zeit vom 20.1. bis zum 6.2. aus Bangkok in der Luft sein. QSL nur direkt via H/c oder LoTW



PA, NEDERLANDS:

Auszeichnung **85 Jahre Thomas-More-Gruppe** und **30 Jahre SPARC**

Die Pfadfinderguppe Thomas More in Prinsenbeek in den Niederlanden feiert dieses Jahr ihr 85-jähriges Bestehen. In diesem Jahr wird das Rufzeichen **PA85TP** verwendet.

SPARC (Scouting Prinsenbeek Amateur Radio Club) feiert in diesem Jahr sein 30-jähriges Bestehen. Das Rufzeichen **PA30SPARC** wird in diesem Jahr verwendet.

Wenn Sie in diesem Jahr die Rufzeichen **PI9TP**, **PA85TP** und **PA30SPARC** gearbeitet haben, können Sie sich um eine Auszeichnung bewerben. Auch Anhänge an den Rufzeichen wie /p, /j, etc. sind gültig.

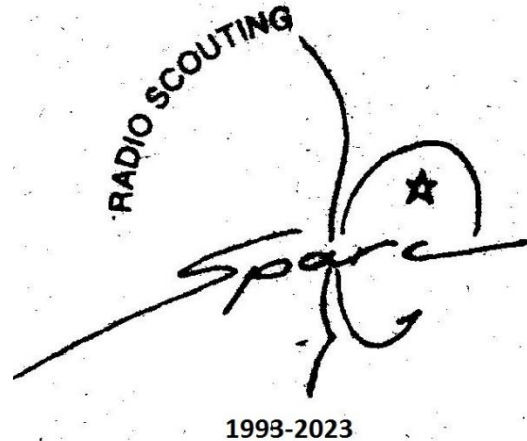
Es zählen Verbindungen zwischen dem 01.01.2023 und dem 31.12.2023. Jedes Band und jeder Modus sind gültig.

Beantragen Sie den Award per E-Mail beim Award Manager.

Der Award kann durch ein Log mit der Unterschrift von 2 Funkamateuren beantragt werden.

Auszeichnungsleiter Edwin PE5ENJ
(pd5enj@msn.com)

P.S. QSO's mit PA85TP und PA30SPARC sind auch 2 Punkte für den Dutch Radio Scouting Award wert und PI9TP sogar 5 Punkte (siehe worldscoutscontest.com)



1993-2023



SP. POLAND:

Die Sonderstation **HF7SIEMA** wird vom 14.1 bis zum 5.2. zum Gedenken an das 31. Finale der Great Orchestra of Christmas Charity QRV sein. Die QSL-Karten können nach dem Senden des Logs heruntergeladen werden, gleich nachdem die Aktivität beendet ist. QSL über:

<https://logsp.pzk.org.pl/index.php?page=station&id=HF7SIEMA> und ersetzen Sie "ZNAK" auf der Seite durch Ihr Rufzeichen und laden Sie Ihre QSL-Karte im PDF Format herunter.



DX-MB vom 18. Januar 2023, Nummer 2337

Die deutsche Text-Version finden Sie auf unserer Homepage:
<https://www.darc.de/der-club/referate/dx/dxmb/>



TA, TURKEY

Anlässlich des 100. Jahrestages der türkischen Republik am 29. Oktober 1923, werden die Stationen **TC100**, **TC100TA**, **TC100TR** und **TC100YEAR** von der TRAC Turkish Amateur Radio Association über das ganze Jahr 2023 versuchen möglichst viele Stationen auf der Kurzwelle ins Logbuch zu bekommen. QSL über das TA-Büro (TRAC)



DX News

TN, CONGO:

Die Expedition unter **TN8K** haben in den 9 Tagen fast 100.000 Verbindungen in ihrem Log stehen, das beutet einen Durchschnitt von fast 14000 QSO's pro Tag. QSL via OQRS OK6DJ. Das Online Log findet man unter: <https://clublog.org/livestream/tn8k>



Insel - Aktivitäten



Zusammengestellt von Andreas, DK5ON
(E-Mail: dk5on@darcd.de)

IOTA-Vorzugsfrequenzen

CW: 28040 24920 21040 18098 14040 10114
7030 3530 kHz
SSB: 28560 28460 24950 21260 18128 14260
7055 3760 kHz

AF-019; IG9, PELAGIE ISLANDS:

Vom 23. bis zum 31. Januar wird ein slowenisches Team aus 8 Operatoren unter dem Rufzeichen **IG9/S59A** von Lampedusa Is. auf allen Bändern und in allen Modi in der Luft sein. Eine Teilnahme am CQWW CW 160m Contest von Freitag, den 27. um 22:00 Uhr bis Sonntag, den 29. Januar um 22:00 Uhr, also 48 Stunden, ist geplant. QSL via S59A (d/B)



**AF-032; 5H, ZANZIBAR ISLAND:**

Vom 21.1. bis zum 31.01. ist Ferdy HB9DSP wieder aus Sansibar mit dem Rufzeichen **5H3FM** auf den 20m, 15m und 10m in SSB und FT8 QRV. QSL via HB9DSP (d/B)

**AS-053; HS, MALAY PENINSULA WEST group:**

Manu F5LIT wird unter dem Rufzeichen **HS0ZPU** in der Zeit vom 17.1. bis zum 20.1. von Krabi Island auf den Kurzwellen Bändern QRV sein. QSL nur direkt via H/c oder LoTW

**AS-079; JA6, MIYAKO ISLANDS:**

Take JI3DST wird vom 24.1. bis zum 7.3. auf den Bändern von 160m bis 10m in CW, SSB, und FT8 unter den Rufzeichen **JI3DST/6**, **JS6RRR** (im CQWW CW Contest), **JJ5RBH/6** und **JR8YLY/6** QRV sein. QSL via H/c (B)

**NA-102; FG, GUADELOUPE:**

Herve F5HRY wird während seines Urlaubs 19.1.-2.2. von Marie-Galante Island (NA-102) unter dem Rufzeichen **FG/F5HRY** in CW, SSB und FT8 auf 80-10m arbeiten. QSL an H/c, er wird aber die Verbindungen auch über LoTW bestätigen.

**SA-036; P4, ARUBA ISLAND:**

Mathias DL4MM wird vom 18. Januar bis zum 2. Februar wieder als **P4/DL4MM** von Aruba aus arbeiten. Er wird von 160m bis 10m in CW, FT8 und SSB aktiv sein. Für den CQWW 160m CW Contest (27.-29. Januar) wird er unter dem Rufzeichen **P40AA** in der Single-Op-Kategorie versuchen, möglichst viele Punkte in das Log zu bekommen. QSLs via DL4MM.

**OC-009; T8, PALAU ISLANDS:**

Im VIP Guest Hotel in Koror auf Palau ist eine Gruppe von JA OM's (JH3LSS (**T88DK**), JA3HJI (**T88DN**), JA3IVU (**T88ED**), JA3ARJ (**T88EF**) und JA3AVO (**T88MB**) die vom 20.1. bis zum 27.01. auf 160m bis 10m in SSB, CW und FT4/8 in der Luft sind. QSL via ihrer H/c, ClubLog oder LoTW

**OC-045; KH8, TUTUILA ISLAND:**

Bob W7Yaq berichtete, dass gedruckte QSLs von **K8H** bereits eingetroffen sind und er in den nächsten Tagen auf direkt erhaltene QSLs antworten wird. QSL's via OQRS, LoTW oder W7Yaq (d)

**OC-237; YB0-3, JAVA'S COASTAL ISLANDS:**

Huzen YE3BYE plant vom 15. bis zum 21.5. in SSB auf 40m, 20m, 15m und 10m unter dem Rufzeichen **YE3BYE/p** QRV zu sein. Diese Aktivität sollte schon im Dezember 2022 stattfinden, wurde aber wegen schlechtem Wetter damals abgesagt. QSL via H/c



Informationen geplanter Insel - Aktivitäten



AN-002; 3Y, BOUVET ISLAND:

Das Team für die Expedition Bouvet 3Y0J ist mit einem Airbus A330 Air Tanker der Royal Air Force von dem Militärflughafen Brize Norton (UK) mit einem Tankstopp auf Cape Verde in Port Stanley auf den Falkland Islands angekommen.



Das Team ist jetzt dabei die Ausrüstung auf dem Segelboot „Marama“ für die Fahrt zu verstauen.



Leider wird es während der Fahrt nach Bouvet keinen Betrieb unter 7mm geben. Zurzeit herrschen starke Winde aus Süden, welche das Beladen etwas verzögern und es fehlt noch Ausrüstung, welche in London zurückgeblieben ist. Man hofft aber, dass diese bis Montag auf den Falkland Inseln ankommt und dann das Boot ablegen kann und dann das Adventure Bouvet Island startet.

Das Boot kann unter folgendem Link tracken:

<https://share.garmin.com/3y0j>

IOTA - Aktivitäten



Parallel zu dem WWFF-Programm gibt es auch ein „Parks On The Air® (POTA)“ Programm. Dieses beinhaltet auch Referenzen der Parks und ein Diplomprogramm. Mehr Informationen auf der Homepage <https://parksontheair.com/>

K-6582 Mission Dolores State Historic Site

Roger **K0YY** plant vom 19.1. 1600 UTC bis zum 22.1. 0200 UTC auf allen Bändern von 10m bis 80m in SSB, CW und FT8 mit mehreren OP's (Roger **K0YY**, Richard **KB5EDR**, Kris **K5KRK** und Michael **KI5JSA**) QRV zu sein.



K-3432 Folsom Lake State Recreation Area

Bill **N6EF** ist vom 20.1. 2300 UTC bis zum 22.2. 1701 UTC in CW, SSB und FT8 auf 20m und 40m aus der Folsom Lake State Recreation Area QRV. QSL via LoTW oder eQSL

XE-0048 Cerro del al Estrella National Park

Der Amateurfunkclub Radioexperimentadores Universitarios ist am 21.1. von 1500 UTC bis 2100 UTC auf der Kurzwelle und den Satelliten unter dem Rufzeichen **XE1RCU** QRV.

K-5687 Cutright State Recreation Area

James **KB9JMU** plant am 22.1. von 1800 UTC bis 2100 UTC auf 20/40m in SSB QRV. QSL via QRZ, LoTW, (d), eQSL oder QRZCQ

KW Conteste

Termine Januar 2023:

21/22.	HA DX Contest 1200 UTC - 1200 UTC 160m - 10m
27/29.	CQWW 160m Contest CW 2200 UTC - 2200 UTC 160m CW
28/29.	REF Contest CW 0600 UTC - 0600 UTC 80m - 10m CW
28/29.	BARTG RTTY Sprint 1200 UTC - 1200 UTC 80m - 10m RTTY
28/29.	UBA DX Contest SSB 1300 UTC - 1300 UTC 80m - 10m SSB

Die Ausschreibungen finden Sie ebenfalls auf <http://www.darc.de/der-club/referate/conteste/> sowie mittels der Contest Termin-Tabelle in der CQ DL 01/2023 auf Seite 64.

Kalender

von	- bis	DX	DX-MB
21.01.	- 31.01.	5H3FM	2337*
	- 23.01.	5X7W	2336
22.12.	- 20.01.	6W1/WA3DX	2333
22.12.	- 20.01.	6W6/WA3DX	2333
22.12.	- 20.01.	6W9/WA3DX	2333
27.11.	- 11.01.	6Y5/W8YCM	2330
18.12.22	-	6Y/N0GJW	2336
01.12.	- 11.01.	6Y8LV	2331
13.01.	- 04.02.	7U7C	2336
	- 31.03.	8J1H90T	2330
13.01.	- 25.01.	8P9CB	2336
01.01.23	- 29.03.	9M2MRS	2334
	- 30.01.	A75GC	2336
01.01.23	- 15.01.	AT18BSG	2335
15.12.	- 12/23	AT42I	2332
28.11.	- 24.02.	C5YK	2331
01.05.	-	C83YT	2301
	-	C91CCY	2322
03.01.23	- 21.01.	D44TWO	2334
	-	DA0WB	2334
01.01.23	- 31.12.	DB100RDF	2335
20.02.	- 19.02.	DKØHN	2285
26.01.	- 25.01.	DLØOF	2288
07.05.	- 06.05.	DL1640Y	2312
01.10.	- 30.09.	DR45HAAN	2330
01.01.23	- 30.05.	DR100XRAY	2335
	- 21.01.	DU9/ON5SM	2335
07.01.23	- 10.01.	EG1NMP	2335
14.01.	- 21.01.	ET3AA	2336
	-	EX0ET	2335
19.01.	- 02.02.	FG/F5HRY	2337*
01.09.	- 01.04.24	FH4VVK	2317
15.10.22	- 15.08.23	FJ4WEB	2336
11.01.	- 10.03.	FM/F6BWJ	2336
07.22	-	FO5QS	2312
	- 03.23	FT4YM	2324
25.12.22	- 26.01.	FT8WW	2335
	- 02.24	FW1JG	2287
26.12.	- 08.01.	FY/F4GPK	2333
01.01.	- 28.02.	GB2KW	2336
01.01.	- 28.02.	GB5KW	2336
01.01.	- 28.02.	GB8KW	2336
01.01.	- 28.02.	GW0KWD	2336
01.01.	- 28.02.	GW5KWD	2336
29.12.	- 22.01.	HC1FIT	2334
14.01.	- 05.02.	HF7SIEMA	2337*
15.03.	- 15.03.	HG2ØØAN	2293
15.03.	- 15.03.	HG2ØØDO	2293
15.03.	- 15.03.	HG2ØØEF	2293
15.03.	- 15.03.	HG2ØØIR	2293
15.03.	- 15.03.	HG2ØØOT	2293
15.03.	- 15.03.	HG2ØØPS	2293
01.01.23	- 01.05.	HH75RCH	2334
	-	HK3/F4AHV	2332
25.07.	- 15.05.	HK3JCL	2307



23.11.	-	13.03.	HR5/F2JD	2329	01.01.	-	31.12.	TC100YEAR	2337*
01.01.	-		HS0ZIB	2336	23.12.	-	03.01.23	TI7/VE3BW	2333
06.11.	-	02.04.	HS0ZME	2326		-		TI8/F4AHV	2332
17.01.	-	06.02.	HS0ZPU	2337*	09.01.2023-	-	12.01.	TK/DL2JRM	2336
23.01.	-	31.01.	IG9/S59A	2337*		-	30.01.	TM50KGI	2336
01.01.	-	31.12.	II4ANC	2334	17.01.	-	31.01.	TM100DOR	2336
01.01.	-	31.12.	II4BRI	2334	06.01.23	-	21.01.	TN8K	2335
01.01.	-	31.12.	II4CDV	2334		-		TO5Z	2328
01.01.	-	31.12.	II4CGD	2334	29.12.	-	15.03.23	TR8CR	2334
01.01.	-	31.12.	II4CLT	2334		-	06/23	TT8SN	2320
01.01.	-	31.12.	II4GAR	2334		-		TZ4AM	2311
01.01.	-	31.12.	II4GNV	2334	12/22	-	03/23	V31TX	2333
01.01.	-	31.12.	II4SML	2334	18.10.	-		V55WH	2324
01.01.	-	31.12.	II4SPZ	2334	06.2022	-		V73MS	2306
01.01.	-	31.12.	II4SSM	2334	31.10.	-		V85NPV	2329
01.01.	-	31.12.	II4STL	2334	29.12.	-	05.01.	VL9MTO	2334
01.01.	-	31.12.	II4TRN	2334		-	04/23	VK9WX	2331
	-	06.23	J28HJ	2311	2.1.23	-	31.03.	VP2MDX	2334
08.22	-		J28RC	2315		-		VP5MA	2302
01.10.	-		J5JUA	2323	01.12.	-	01.23	VP8/SQ1SGB	2331
24.12.	-	23.01.	JD1BMH	2333		-		VP8AAE	2320
	-	31.01.	K3Y/0...9	2336	12/22	-	01/23	VP8RAF	2332
14.05.	-		K4RC	2301	12/22	-	01/23	VP8TAA	2332
12/22	-	12/23	KC4AAC	2332	14.05.	-		W1M	2301
	-	31.01.	KH6/K3Y	2336		-	08.01.	W2P	2335
	-	31.01.	KL7/K3Y	2336	15.01.	-	31.01.	W9DOR	2336
	-	31.01.	KP4/K3Y	2336		-	14.01.	WA5LFD/p	2330
	-	31.01.	LY700VLN	2336	21.08.	-		XZ2A	2316
10.01.	-	10.02.	LY1923KK	2335	25.06.	-		XZ2B	2309
07.01.	-	15.01.	VP2V/N2TSR	2336		-	12/25	YB8QT	2330
23.04.	-		OE22M	2298	15.05.	-	21.05.	YE3BYE	2337*
01/23	-	06/23	OE40XTU	2332	01.12.22	-	30.06.23	YR1200VT	2333
18.01.	-	02.02.	P4/DL4MM	2337*	01.09.	-		Z6/KN4PRE	2317
10.01.	-	08.02.	P4/VA3QSL	2335	28.08.	-		ZA/DG7PX	2317
01.01.	-	31.12.	PA30SPARC	2337*	23.08.	-		ZA/Z35M	2315
01.01.	-	31.12.	PA85TP	2337*	12/22	-		ZA15K	2333
01.01.	-	31.12.	PI9TP	2337*		-		ZC4GR	2336
23.12.22	-	05.01.23	PJ2/DD0VR	2333	29.12.22	-	05.01.23	ZF2IT	2334
09.01.	-	06.02.	PJ2ND	2336	25.08.	-		ZL4/VE6TC	2318
27.01.	-	29.01.	PJ2T	2336	15.07.	-		ZL7/ZL1VV	2311
01.01.	-	13.01.	PJ4/DD0VR	2334					
			RI1ANC	2335					
24.10.	-	24.03.23	RI1ANU	2324					
01.01.	-	31.03.	RI30ANT	2335					
	-		RI41POL	2321					
01.05.	-		S035S	2301					
	-	15.01.	SP90ENIGMA	2366					
	-	15.01.	SP90ENG	2336					
01.01.	-	31.12.	TC100	2337*					
20.01.	-	27.01.	T88DK	2337*					
20.01.	-	27.01.	T88DN	2337*					
20.01.	-	27.01.	T88ED	2337*					
20.01.	-	27.01.	T88EF	2337*					
20.01.	-	27.01.	T88MB	2337*					
13.01.	-	19.01.	T88RH	2336					
13.01.	-	19.01.	T88SM	2336					
01.01.	-	31.12.	TC100	2337*					
01.01.	-	31.12.	TC100TA	2337*					
01.01.	-	31.12.	TC100TR	2337*					

* = neu oder aktualisiert
 .. = und andere Calls

QSL-Informationen

3A/F6EXV	via	F6EXV
3A/IR1DCI	via	IK1GPG (B)
3A/PB8DX	via	PB8DX
3A/DL2SBY	via	DL2SBY (d), (L)
3A3A		(L)
3A6M	via	F6EXV ((O)), (B), (L)
3B8/DK6SP	via	DK6SP (B), (L)
3B8/KX7M	via	F5CWU (B)
3B8X	via	PFØX (B), (L)
3B9/MØCFW	via	(L)

3C3CA	via	TA2OM (B), (L), (e)	6W1/WA3DX	via	WA3DX (d), (L)
3X1A	via	F1TMY QSL nur (C)	6W6/WA3DX	via	WA3DX (d), (L)
3Z3ØPAR	via	SP4KM (B), (L)	6W9/WA3DX	via	WA3DX (d), (L)
3Z7ØFI	via	SP9JPA (B)	6Y5/4S7RO	via	F6BFH (B), (*)
3Z95PRK	via	SP9MRP (B)	6Y5/W8YCM	via	W8YCM (d)
4D3X	via	W3HNK (d), (L)	6Y6ØHM	via	EA5GL (B)
4J6D	via	DC9RI, (L)	6Y8LV	via	W8YCM (d)
4K7DK	via	DK1DKE (B)	7A1B	via	EA7FTR (d), (L)
4L1FP	via	K6VHF (B), (L), (e)	7G1RL	via	HA3JB (d), (L)
4L8A	via	MØOXO (B-(O)), (L)	7Q5RU	via	R7AL (L)
4S7RO	via	F6BFH (B), (*)	7Q6M	via	K6ZO (L)
4U1A	via	UA3DX (B), (L)	7R19MG	via	(d), (e)
4U1VIC	via	UA3DX (d/B)	7R7A	via	7X2VFK (d)
4U1XMAS	via	UA3DX (B)	7S1GRK	via	SK1BL (B, automatisch)
4W/JH2EUV	via	JH2EUV (B), (L)	7S7SOP	via	SM7RYR (nur (L))
4W/VK1AO	via	VK1AO (L), (e)	7T60A	via	7X2DD (d)
4X6FR	via	4X6OM	7X2GK	via	IK2DUW (d), (L)
4X7XMAS	via	4X6ZM (B), (L), (e)	7X2VFK	via	7X2DD (d)
4X8XMAS	via	4X6ZM (B), (L), (e)	7Y19MG	via	(d), (e)
4X9XMAS	via	4X6ZM (B), (L), (e)	7Z1VD	via	EA5GL (B), (L)
4Z8NER	via	4X6ZM (B), (L), (e)	7Z92ND	via	HZ1SAR (d)
5A1HA	via	F6BFH (B), (*)	8A64BALI	via	YH9AA (d), (e)
5A1AL	via	5A1AL ((O)), (L)	8J1H9ØT	via	JARL-Bureau, (L), (e)
5B/NP2KY	via	5B-Bureau	8J3S	via	JK3IJQ (B)
5B4AQC	via	DK6SP (B), (L)	8N2TY	via	JARL-Bureau, (L), (e)
5B4AMM	via	UT5UDX (L), (e)	8P6ET	via	KU9C (d), (L)
5B4YOTA	via	5B4CY (d), (B)	8P9CB	via	WA7RAR (d), (L)
5C4ØDN	via	CN8DN (d)	8P9NF	via	EA4NF (L)
5E5R	via	CN8YZ (L), (e)	8S0C	via	SM0MPV (B), (L)
5H2JK	via	DL8AAI (B)	8S80AA	via	SK5AA (OQRS)
5H3FM	via	HB9DSP (B), (L)	8S9J	via	SM5TOG (nur (L))
5H3SE	via	(L)	8Q7AG	via	IZ2DPX (B), (L)
5H5PJ		(e) & (L)	8Q7QE	via	EA5Q (B), (L)
5H8HZ	via	TA1HZ (d), (L), (e)	8Q7TD	via	IK1TDD (B), (L)
5KØT	via	LU1FM (d), (L), (e)	8Z92ND	via	HZ1SAR (d)
5K0YD	via	IK2DUW (d)	9A/DL7MDX	via	DL7MDX (B), (L)
5K6RM	via	HK6RM (B), (L)	9A/F5SNJ	via	F5SNJ (nur (L))
5N/KE5GUR	via	KE5GUR (d), (e)	9A/W8FNG	via	W8FNG (d), (L)
5P1KZX	via	OZ1KZX (B), (L), (e)	9A/S50IPA	via	S50IPA
5P1OT	via	SP1OT (B)	9A/SQ9CNN	via	SP9FIH (B), (L)
5P5Q	via	OZ9XU (B), (L), (e)	9A1WFF/p	via	9A2MF (B)
5P5T	via	OZ1FDH (L), (e)	9A2Ø22ICM	via	9A6KX (d), (L), (e)
5P6MJ	via	OZ6MJ (L), (e)	9A22YOTA	via	9A1A (B), (L)
5P8VW	via	DJ8VW (B), (L), (e)	9A24ZRF	via	9A7ALZ (B), (L)
5Q5CW	via	DL5CW (B), (L)	9A5Y	via	9A7W (B), (L)
5Q7DX	via	PA7JWC (B), (L)	9A8GHJ/p	via	OE7GHJ (B)
5R8CG	via	DL2AWG (B), (L)	9H/IV3CTS	via	YT4RA (L), (e)
5R8FG	via	IZ6BRJ (B)	9H6LH	via	DL1KJ (B)
5R8MM	via	DL2AWG (B), (L)	9H6QE	via	9H1MRC (d)
5R8PA	via	DL2AWG (B), (L)	9J2SEU	via	OE3SEU (L)
5R8WG	via	DL2AWG (B), (L)	9K2OW	via	EC6DX (d), (L)
5R8WP	via	DL2AWG (B), (L)	9K9KSA	via	EC6DX (d), (L)
5R8AL	via	G3SWH (d), (L)	9M100SK	via	9W2TXL (d)
5WØRS	via	IT9YVO (d)	9M2MRS	via	PAØRRS (B), (L)
5X3R	via	IK2DUW	9M59SD	via	9W8KIF (d)
5X4E	via	IQ3CO (B); IZ3ZLG (d)	9M6NA	via	JE1JKL (B), (L)
5X7W	via	MØOXO (B) (L), (e)	9N7AA	via	S57DX (d), (L)
5Z4VJ	via	MØURX (B OQRS), (L)	9V1ZV	via	EA5GL (B), (L), (e)
6D5C	via	XE1H (nur (L))	9X5GG	via	F6BFH (B), (*)

A35JP/p	via	JA0RQV (B), (L)	C6AYL	via	W8CAA (L)
A43KSA	via	EC6DX (d), (L)	C7A	via	UA3DX (B)
A43UAE	via	A47RS (B), (L), (e)	C91CCY	via	K3IRV (B)
A6ØA	via	EA7FTR (d), (L)	CB3W	via	XQ4CW
A6ØBHR	via	EA7FTR (d)	CB4A	via	CE4UFC
A60FIFA/2	via	EA7FTR	CE3/CE0YHF	via	CE0YHF (d), (L)
A65/DL2RMC	via	DL2RMC (B), (L)	CN22JIM	via	RW6HS (d)
A65DR	via	N4GNR (d), (L)	CN23NIL	via	RW6HS (d)
A61ZX	via	IZ8CLM (B), (L), (e)	CN23NOA	via	CN8NOA
A62A	via	EA7FTR und (L)	CO7VI	via	IK2DUW (d) und (L)
A71AU	via	F6BFH (B), (*)	CQ3J	via	CT3MD and (L)
A71FIFA	via	A71A (B), (L)	CQ7WRTC	via	CT1ILT, (L)
A72FIFA	via	QARS-Bureau, (L)	CQ9T	via	CT3KN
A73FIFA	via	A71A (B), (L)	CR2X	via	OH2BH (B)
A74FIFA	via	QARS-Bureau, (L)	CR3SI	via	CT1DSV (B)
A75FIFA	via	A71A (B), (L)	CR3Y	via	OM2FY
A75GC	via	RW3RN (B)	CR6K	via	CT1ILT (O), (d), (L)
A76FIFA	via	QARS-Bureau, (L)	CS2C	via	OK1RF
A77FIFA	via	QARS-Bureau, (L)	CS7/DO1HKH	via	DO1HKH
A78FIFA	via	QARS-Bureau, (L)	CT9ABO	via	OM3GI (d), (L)
A722FWC	via	A71A (B), (L), (e)	CT9ABV	via	DL5AXX, (L)
A71XX	via	EC6DX (d), (L)	CW3A	via	EA5GL (d), (L)
A91ARS	via	EC6DX (d), (L)	CW5X	via	CX2ABC (d)
A91FTDMC	via	EC6DX (d), (L)	CX1ØØB	via	CX1AA (B), (L)
A91ND	via	EC6DX (d), (L)	CX3AT	via	EA5GL (B), (L), (e)
A91OMA	via	EC6DX (d), (L)	CX5A	via	CX2ABC (B), (L), (e)
A44A	via	A47RS (B), (L)	D2TX	via	PA3CMC (L)
AHØ/WA7WJR	via	WA7WJR (d), (L)	D44BM	via	IW2KVT (B)
AH2/WA7WJR	via	WA7WJR (d), (L)	D44PM	via	IZ4DPV (d), (B), (L)
AM100RCE	via	EA4URE	D44TWO	via	MØOXO (B OQRS), (L)
AM23ØCW	via	EA2CW (L), (e)	D4L	via	IK2NCJ (B), (L)
AM30FEDIEA	via	EA3RKF (d), (e)	D4Z	via	IK2NCJ (B)
AM33ØHLM	via	EA3HLM (nur L & (e)	D6ØAE	via	F5GSJ (B), (L)
AM33ØRKM	via	EA3RKM (L), (e)	D73G	via	HL4CCM (B), (L), (e)
AM38SDC	via	EA1AUM (B), (L), (e)	DA0HQ	via	DL5AXX
AM4ØRCH	via	EA3RCH (B), (L), (e)	DA0RR	via	DJ5BWD
AM5ØØPCM	via	EA7URF (B), (L), (e)	DAØT	via	DL7AT (B), (L)
AM630VQ	via	EA6VQ (B), (L)	DA22LGS	via	DL7ACN (B)
AO12ØDRI	via	EA7AMB (B), (e)	DA2W	via	ON3UN (B)
AP2KN	via	F6BFH (B), (*)	DB100RDF	via	DO2PZ
AP2TN	via	N4BAA (World), RW6HS (Russia, d), (L)	DFØCOC	via	DL4PY (B)
AP75HA	via	AP2HA (L)	DFØSAX	via	DL3DXX (B), (L)
AP75HAS	via	VU2SMS (d)	DK05ØBN	via	DK5PD (B), (L), (e)
AP75SD	via	EA5ZD (B: nur Mail), (e)	DK0AJ	via	DH4FE
AT18BSG	via	VU2NRO	DK0DFF	via	DL7AFS (B)
AU2JCB	via	VU2DSI (d), (e)	DK0DI	via	DH7ZP (B)
AU2SOA		(L), (e)	DK0GYB	via	DK2AJ (B), (e)
AU75JRO	via	VU2JRO (d), (L), (e)	DK0SM	via	DL6OCH
AU75SMS	via	VU2SMS (d), (L)	DK5T/LH	via	DK5ON (d), (B), (L)
AP75TN	via	RW6HS (d)	DK70BAD	via	DK2BK (B)
AZ1D	via	LU1DX	DL0AGU	via	DL1RNT (B)
BP0A	via	BV2KS	DL0AH	via	DG5YHE
BW/DJ4JB	via	DJ4JB (B)	DL0GEO	via	DL2YAK (B), (L), (e)
BX0QSL	via	BM2JCC, (e)	DL0JBB	via	DL6YAO (B), (e)
C37N	via	C37URA (B), (L)	DL0NOT	via	DL1ZAV (B)
C6ADX	via	W8GEX (L)	DLØROS	via	DL8MEW (B), (e)
C6AGU	via	HA7RY (L), (e)	DL164ØY	via	DL3CQ (B), (e)
C6AQ	via	EA5GL (B), (L), (e)	DL2ØSOTA/p	via	DL6GCA
			DL22PEACE	via	DF8RJ (B)

DL25KYF	via	DM2HEY (OQRS via (C) > No QSL needed)	FK8GX	via	F5MFV (d)
DL6ØLINDAU	via	DL1CBQ (B)	FM/F6BWJ	via	F6BWJ (B), (L)
DL/HB9BIN/p	via	HB9BIN (B), (L)	FM5BH	via	W3HNC (d), (L)
DL/HB9CBR/p	via	HB9CBR (nur (L))	FT8WW	via	F6EXV (O), (L)
DMØY	via	DL3BQA (B)	FY/F4GPK	via	F4GPK (nur (e))
DM20OTUS	via	DJ8NU (B)	FY5KE	via	FY1FL (d), (L)
DM6ØUEA	via	DL3BUA (B, autom.)	G3M	via	G4PEO (B)
DN2MR	via	DD7MR (B)	G5XV	via	MØOXO ((O)), (L)
DN3TD	via	DL3TD (B)	G8T	via	GW4SHF (B)
DP0POL	via	DL5EBE (B)	G8X	via	G4FJK (d), (L)
DP5N	via	DJ0ACA	GB0KWD	via	nur LoTW
DQ8FTDMC	via	DM2RM	GBØNFL	via	MØLMK (nur (e))
DR0W	via	DJ5MW	GB13COL	via	GØVLF (d)
DR1ØØRY	via	DF2SD (B), (L), (e)	GB1CSR	via	MØOLT (B), (e)
DR100XRAY	via	DJ6SI (Bureau)	GB2HMM	via	GW4TTA (B)
DR15ØMM	via	(B), (e)	GB2KW	via	nur LoTW
DR3K	via	DG1YKW (B)	GB5KW	via	nur LoTW
DR4A	via	DJ9KM (B), (L)	GB5GYD	via	MØCQL ((e))
DR45HAAN	via	DO9MP (B), (O)	GB5KWD	via	nur LoTW
DU1/PG5V	via	PG5V (d), (B), (L)	GB5TP	via	MM0DFV
DU3/W6QT	via	W6QT (B), (L), (e)	GB6OUS	via	MØOXO (B-(O)), (L)
DU7/N7ET	via	N7ET (B), (L)	GB8KW	via	nur LoTW
DV8/KH7EA	via	SP3SUX (B)	GD2NV	via	G2NV (nur (e))
DX8H		(d)	GJ2A	via	MJ0ASP (d), (L)
E2WRTC	via	E21EIC (B), (L)	GM2T	via	(B)
E7/9A3DF	via	9A3DF	GM4Z	via	GM4ZUK (B), (L)
E7HQ	via	E70ARA, (L)	GM6DX	via	MØOXO (B-(O)), (L)
E77DX	via	E73Y (B), (L)	GQ4ATA	via	GM4ATA nur (L)
EA3/PD2SD	via	PD2SD	GS5DX	via	EB7DX and (d), (L)
EA3ATO	via	EA3RCI (B), (e)	GS8VL	via	M0OXO ((O)), (L)
EA5/DJ2TG/p	via	DJ2TG (B), (L), (e)	GUØVJG/p	via	GØVJG (B)
EA6/DK1XAM	via	DK1XAM (d)	GX1FCW		nur (e)
EA7/WH6GVB	via	EA7KN	GX3WIM	via	G8MNY (L), (e)
EA8/DL2GRF	via	DL2GRF ((e))	GX5BBC	via	G4HPE (B), (e)
EA8/MDØVMD	via	MDØVMD (d)	GX5DX	via	EB7DX (d)
EA9KB	via	EA7FTR	GX6ZME/p	via	G3ZME (B)
ED1R	via	EC1KR (B), (L), (e)	H25A	via	LZ3SM (B), (L)
ED2C	via	EA2RCF (B)	H44MS	via	DL2GAC (B), (L)
ED2FSF	via	EA2CYC (E-Mail)	H44SHD	via	HB9SHD (B), (e)
ED5HFD	via	EA5HFD (B)	HA36EUDXF	via	HA5MA (B), (L)
ED7O	via	EA7EU (d)	HA5SPORT	via	HA-(B)
EE44C	via	EC5WR (d), (L), (e)	HBØ/DJ1AA/m	via	DJ1AA (B), (e)
EF0F	via	EA4URE (B), (L)	HBØ/DL2JRM	via	DL2JRM (B)
EF1A	via	EA1X (B), (L)	HBØ/HB9DQM	via	HB9DQM (B), (L)
EF6T	via	EA3AIR	HBØ/OE9HRV	via	OE9HRV (B)
EG1NMP	via	EB1CU (L), (e)	HBØ/PA3CNO	via	PE1FLO
EG5DSI	via	EA5RKS (nur L & (e))	HB175RAIL	via	(L)
EG80NT	via	EA1RCI	HB5ØSH	nur	(L) & (e)
EH23HNY	via	EA5URV (B), (e)	HB75SG/p	via	HB9KNY (B), (L)
EH3HNY	via	EB3JT nur (L) & (e)	HB9/KB1OTE	via	KB1OTE
EH5FPM	via	EA5JDN and (L)	HB9SPACE	via	HB9ACA
EH5HNY	via	EA5ZD (B)	HC5JHT	via	(L)
EI/DJ1WI	via	DJ1WI	HD1HERO		nur (L)
EK/RX3DPK	via	RX3DPK (L)	HF0ROSA	via	SP7X (L), (e)
EXØET	via	DU7ET (d)	HF1ØØL	via	SP9KDR (B)
FG/F6HMQ	via	F6HMQ (B)	HF1922PS	via	SP9KJU (B), (e)
FH/OK1M	via	OK1WMR	HF1Z	via	SP1EG (B), (L)
FJ4WEB	via	K2LIO (d), (e)	HF2ØLVK	via	SP4LVK (B), (e)
			HF30STB	via	SP9SCI (B)

HF3ØPSP	via	SP9PSJ (B)	IP1X	via	IU1JCZ (B)
HF7SIEMA	via	(Download), (e)	IP6POPE	via	IZ6BRJ
HF77DIORA	via	SP3PDO (B)	IQØAK	via	ISØJXO (B), (e)
HF800M	via	SP9PKS (B)	IQ1SV	via	IZ1JIZ
HF9FIELD	via	SN9PJ (nur (e))	IQ3DD	via	IZ3NWT (Bureau)
HF95PRK	via	SP9KJU	IR1DCI/5	via	IK1GPG (B), (L)
HG0IDPD	via	HA5MA (d), OQRS (C); keine QSL benötigt	IR1DCI/8	via	IK1GPG (B), (L)
HGØWFF	via	HAØHW (B-(O)), (L)	IR9K	via	(B), (L)
HG1Z	via	HA1XY (B)	ISØ/DJ2TG/p	via	DJ2TG (L), (e)
HG1222BA	via	HA4KYB	J2ØEE	via	F4DXW (d), (L), (e)
HG4I	via	HA5LN	J28HJ		(L)
HG5A	via	HA5KDO (B), (L), (e)	J28JD	via	EA5GL (B), (L)
HH18NOV	via	N2OO (B)	J28MD	via	IK2VUC (B)
HH2AA	via	EB7DX (L), (d)	J3/N9GB	via	N9GB
HH75RCH	via	N2OO (B)	J43POTA	via	SV3SPD (L), (e)
HI8J	via	RW6HS (d), (L)	J5GQA	via	CT2GQA (B), (e)
HI9/IK2KTE	via	IK2KTE	JD1AJD	via	JA1ADT (B), (L)
HL77V	via	6KØMF (B)	JW/KA1IS	via	KA1IS (B)
HLØ9NWPF	via	HL5BJU (B), (L), (e)	JWØA	via	K4NHW (B), (L)
HP1/EA5XV	via	EA5XV (B)	JW7QIA	via	LA7QIA (B), (L)
HR9/K6VHF	via	K6VHF (B), (L), (e)	JW7XK	via	LA7XK (B), (L), (e)
HQ9X	via	KQ1F (B), (L)	JX/LB4MI	via	LB4MI (B), (L), (e)
HR5/F2JD	via	F6AJA (B), (L)	K4C/75	via	N4JR (B)
HS0ZJF	via	ON4AFU (d), (B)	K4WK/VE3	via	K4WK
HS0ZNR	via	VK2FY (d), (L), (e)	KH6/ND0B	via	ND0B (d), (L)
HS0ZOA	via	EB7DX (d), (e)	KH6ND/W7	via	KH6ND (L)
HS7AP/p	via	E21IZC	K5A	via	K5DB (d), (L)
HVØA	via	IKØFVC (d), (L)	K8H	via	W7YAQ (L)
HZ1BHR	via	HZ1SAR (d)	KC4AAC	via	K7MT (d), (L)
HZ1CY	via	A61BK (d), (L)	KH7X/W7	via	KH7X (L), (e)
HZ1CPCF	via	HZ1SAR	KL7/K3Y	via	K3Y (d)
HZ1UAE	via	HZ1SAR (d)	KL7J	via	N3SL (B), (L)
HZ92ND	via	HZ1SAR (d)	KP2/KB5RF	via	KB5RF (nur (L))
I/HB9BIN/p	via	HB9BIN (B), (L)	KP2B	via	EB7DX (d), (L)
IC8/IK6CAC	via	IK6CAC (L), (e)	KP4/E77DX	via	E73Y (B), (L)
IC8/KL1A	via	OE1ZZZ (d)	KP4/KCØBLK	via	KCØBLK (d), (L), (e)
ID9Y	via	IK8YFU (d), (L), (e)	KT3Q	via	DF8DX (B), (L)
IF9A	via	IT9ATF (B), (L)	L2ØD	via	LU3DXG (L), (e)
IG9/IZ8FFA	via	IZ8FFA (d), (L)	L50DY	via	LU8DY (L), (e)
II1MM	via	IK1VHX (e)	L60CBA	via	LU5CBA
II2FTDM	via	IK2EKO	LA/PE1ITR	via	PE1ITR (B), (L)
II4TRN	via	IQ4FE (B)	LA/SP7VC	via	SP7VC (d), (e)
II5RM	via	IK5WOB (B)	LA/ON4ROB/P	via	ON4ROB
II7ML	via	IQ7ML (e)	LB5SH/p	via	LB5SH (B), (L)
II9IALU	via	IT9MRM (d), (e)	LC1R	via	LB5SH (B), (L)
II9IAKE	via	HE9ERA (B)	LC5C	via	LA6KOA (B)
II9IGDG	via	IT9DSA (d), (e)	LP1A	via	EA7FTR (L)
II9JOTA	via	IT9LIZ	LV1E	via	LW6EQG (B), (L), (e)
IK1TNU/IA5	via	IK1TNU	LW2DO	via	EC6DX (d)
IK2LEY/ISØ	via	IK2LEY	LX/PA3FQX	via	PA3FQX
I6/ON5XX/P	via	ON5XX nur (L)	LX4HNY	via	LX1JH (B autom.), (e)
I6/OT1V	via	ON8VM (B), (L), (e)	LY7ØØVLN	via	LY4Q (B)
IL7/IK5AEQ	via	IK5AEQ (B), (L), (e)	LY770CT	via	LY1CT and (L)
IL7/IZ5IUJ	via	IZ5IUJ (auch (e))	LY786A	via	LY5A (B)
IM0A	via	IS0BSR ((L) only)	LZ/OP4L	via	ON4LDK (d), (B)
IM0B		nur (L)	LZ/SQ2M	via	SQ2M
IN3/DL7CX/p	via	DL7CX (B), (L)	LZ0KP	via	SV2CLJ (d), (L)
IN3/HB9BXQ	via	HB9BXQ (B)	LZ1Ø5IN	via	LZ1ZF (B)
			LZ1GLASS	via	LZ1KAK (B)

LZ258ML	via	LZ1KCP (B), (L)	OP4K	via	ON4JZ and (L)
LZ2K	via	LZ4AE	OP9T	via	ON5CT, (L)
LZ25MIG	via	LZ1ZF (B)	OQ4U	via	ON4AMX (B), (L)
LZ31ZE	via	LZ1KCP (B), (L)	OQ5M	via	ON5ZO (L), (e)
LZ319TS	via	LZ1KCP	OQ95RCL	via	ON3AR
LZ4A	via	LZ1YQ (d)	ORØA	via	ON6ZK (B)
LZ457PP	via	LZ1KCP (B), (L)	OR1ØØRCBE	via	ON4GDV (B), (e)
LZ540DS	via	LZ1KCP (B), (L)	OR1Ø5ØHERZ	via	ON-Bureau
LZ5G	via	LZ5ET (B)	OR1Z/p	via	ON6IX (d), (e)
LZ6E	via	LZ1GU (B)	OR7ØFI	via	OR4K (B)
LZ6T	via	LZ2JA	OR7G/p	via	ON7VG (auch (e))
M/LY4L	via	LY4L (L)	OR78CLM	via	ON6HC (B)
M2J	via	G4NBS (nur (L))	OR8W	via	ON4BDV
M4T	via	M0BEW ((e) only)	OS5Z	via	ON5CAZ (B)
M7W	via	G3TBK	OT4A	via	ON4AEK (L), (e)
M7Z	via	G4BWP and LoTW	OT4N	via	ON4CN (B), (e)
M8A	via	M0HDF and LoTW	OT5IDPD	via	ON6WL (B), (L)
MD7C	via	MØOXO (B-(O)), (L)	OT5Q	via	ON4KNP (B), (L)
MM1E	via	(L) (kein Bureau)	OT6E	via	ON6QS (L), (e)
MN5A	via	G3TXF (B), (L)	OT9K/p	via	ON9KAT (B)
MS0ORK	via	MM5DWW (d)	OU5K	via	OZ1BEF (d)
MQ0PAM	via	MØPAM (d), (L), (e)	OV2T	via	PAØABM (B), (L)
NØC	via	WØUY (d), (L)	OV3T	via	OZ4XL, nur (L)
N1N	via	K6ZO (L)	OV5W	via	OZ1GIN
N5W	via	K5GN	OX7AM	via	OZ1ACB ((O)), (L)
NL8F	via	N7RO (d), (L)	OY7EE	via	OZ2I (B)
OD5ZZ	via	N4GNR (d), (L)	OZ/DJ1AA	via	DJ1AA
OE05FTDMC	via	OE1SGU (L), (e)	OZ50DDXG	via	OZ1ACB (O), (L)
OE25MFCA	via	OE6XMF (B)	OZ5W	via	OZ7QC, (L)
OE0FTDMC	via	OE6VIE (B-(O)), (L)	P29LL	via	EA7FTR (d)
OE0HQ	via	OE3KAB (L)	P29RO	via	DL4SVA (B), (L)
OE25TU	via	OE-Bureau	P3AA	via	RW3RN (d), (B)
OE3DIA	via	OE1DIA (d), (e)	P3X	via	UT5UDX (L), (e)
OE5D	via	OE2UKL (B), (e)	P4ØL	via	WA3FRP (B), (L)
OE6ØSTMK	via	OE6WIG (B)	P44W	via	N2MM (d), (L)
OE7ØFI	via	OE5FSL (B)	P49X	via	W0YK (d), (L)
OF9X	via	OH2BH (B)	P4/DDØVR	via	DDØVR (B)
OG7F	via	OH5AD (B), (L)	PA/DH1NBE	via	DH1NBE (B)
OH0CO	via	SM6CCO (d), (L)	PA/SP1MVG/p	via	SP1MVG
OH1XMAS	via	OH-Bureau	PA1VS	via	DE7VSH (B), (L), (e)
OJ0DX	via	DL3DXX (O), (L)	PA22VUELTA	via	PI4UTR
OJ0JR	via	OH3JR (B), (L)	PA3ØSPARC	via	PE5ENJ (B)
OJ0MR	via	OG2M (d)	PA5DX	via	IZ8CLM (B), (L), eQSL
OK/SQ9MDF/p	via	SQ9MDF (B)	PA6ØCUBA	via	PA1FZH
OK5D	via	OK1DTP (B), (L)	PA6ØEHSB	via	PA5ABW (B)
OK5M	via	OK5MM (B)	PA6ØNN	via	PC4C (B), (L)
OK5Z	via	OK2ZI, (L)	PA75DXCC	via	PA0ABM (O), (L)
OK8CX/p	via	DL7CX (B), (L)	PA9ØØUTR	via	PI4UTR
OK8MA/p	via	SP9MA (B)	PC2ØSAIL	via	PAØRDY (B)
OL1T	via	OK6DJ (B), (L), (e)	PD36EUDXF	via	PA1AW (B), (L)
OL15SOTA	via	OK1CYC (B), (L)	PE36EUDXF	via	PA1AW (B), (L)
OL3Y	via	OK1CRM (B), (L)	PF01MAX	via	PC2F and (L)
OL5GMA/p	via	OK3EQ (B), (L), eQSL	PF36EUDXF	via	PA1AW (B), (L)
OMØR	via	OM3GI (d), (L)	PF44F	via	(L) (kein Papier)
ON/SP7THC	via	SP7THC (d)	PF6SKCC	via	PG4I
ON37IOF	via	ON7QC (B)	PF6ØPENM	via	PF9W (B), (L)
OO22FLY	via	nur ON-Bureau	PGØØT	via	PA2TMS (B), (e)
OO36EUDXF	via	ON6CC (B), (L)	PG6PEACE	via	PG5FRL, (L)
OO7Z/p	via	ON6KZ (B), (e)	PI4COM	via	PA1AW and (L)

PI4DX	via	PD1DX (d), (B), (L)	SP95PRK	via	SP9PNB (B)
PI4NTC	via	PG4I	SQ65PLU		(B)
PI4RCA/p	via	PA4T (B)	SQ75ZOT	via	SP1EG
PI75ØGAZ	via	PA-(B)	SQ95PRK		(B)
PJ2/DK5ON	via	DK5ON (d), (B), (L), (C)	ST2SA	via	F6BFH (B), (*)
PJ2/DDØVR	via	DDØVR (B)	SU8X	via	OH2BH (B)
PJ2ND	via	K8ND (d) (L)	SV9/SX338M	via	SX338M nur (L) & (e)
PJ4/DDØVR	via	DDØVR (B)	SX1ØØMRH	via	SZ2RWM (d), (e)
PJ4/K4BAI	via	K4BAI	SX14ASTRO	via	SZ1A (B), (L), (e)
PJ7/G4JEC	via	NØUK (B), (L)	SX2IMA	via	SV2JAO (d), (e)
PP2/DL3SEZ	via	DL3SEZ (B)	SX22HAF	via	SV1AHH (nur L & (e)
PQ3G	via	PY3OZ	SX338M		nur (L), (e)
PR1T	via	PY1ZV (nur (L))	SX39J	via	SV2GWY (d), (L), (e)
PR2R	via	PY2ERA (d), (B), (L)	SX44JM	via	SV1AHH (L), (e)
PT4Z	via	PY4JW (d)	SX8AEG	via	SV8MQP (B), (e)
PT5C	via	PY5HC (B), (L), (e)	SZ1KVDD	via	SV1ENG (B), (L)
PT5J	via	PP5JR und (L)	T88AQ	via	JH6WDG (L)
PT6B	via	PY6HD (d), (L)	T88PB	via	JAØJHQ (d), (L)
PV2ØØBR	via	PY2KP (B), (L), (e)	T88RC	via	JH1FFW (B), (L), (e)
PV2K	via	EA5GL (B), (L)	T88RH	via	JR6DRH (B)
PW2IND	via	PP5AA (B), (e)	T88SM	via	JA6EGL (d)
PX2A	via	PY2VM (d), (L)	TA3J/0	via	TA3J (B), (L)
R1941MB	via	R2DX (B), (L), (e)	TA4/OH2KW	via	OH2KW (B), (L)
R2022DX	via	RQ7L	TA4/SQ9UM	via	SQ9UM (d), (L), (e)
R2Ø23NY	via	RQ7L	TC29EKM	via	(e)
R245GC	via	RW1QN (B), (L), (e)	TC7G	via	YM7KK (d), (L)
R50RCR	via	RV3VR	TF/DL2JRM	via	DL2JRM (B)
R8ØURAN	via	UA4AJD (B)	TG9ADM	via	EA5GL (B), (L)
R7ØØSSR	via	RØSI	TI1FIFA	via	(d), (L)
RI41POL	via	RN3RQ (B)	TI2VLM	via	EA5ZD (d), (L)
S21SM	via	OH6EAC (d) und (L)	TI5/N3KS	via	M0URX (O) und (L)
S50HQ	via	S54G (B), (L)	TI7/HB9BHU	via	HB9BHU
S79/RM8A	via	RM8A (direct)	TI7/VE3BW	via	VE3BW (L)
SB6A	via	SA6AOA (nur (L))	TK/S53WW	via	S53WW, (L)
SD6F	via	SM6JWR (B), (L)	TK/S57L	via	S57L, (L)
SF6F	via	SA6FOL (nur (L))	TK/S57VW	via	S57VW
SI3A	via	SM3LIV (B), (L), (e)	TK/DL2JRM	via	DL2JRM (B)
SK75BL	via	SK1BL (B, automatisch)	TK0C	via	S50C (d), (B), (L), (e)
SM/OH2NOS/p	via	OH2NOS	TMØW	via	F2CT (L), (e)
SM2M	via	SM2LIY (B), (L), (e)	TM1MLB	via	F4KMI (B), ((e))
SN15ØBRAIL	via	SP2PBY (B)	TM1SOTA	via	nur (e)
SN2ØØO	via	SP2PGD (B, automatisch)	TM1ØKIY	via	F4KIY (B), (L), (e)
SN2ØØW	via	SP2PGD (B, automatisch)	TM109TDF	via	F8GGZ
SN2M	via	SP2XF (d), (B), (L)	TM1ØØBBC	via	F8GGZ (B)
SN500GM	via	SP5PMU (B)	TM1ØØCARD	via	F5PTI (B), (L), (e)
SN5N	via	SP5KP (d), (L)	TM100UNOR	via	F8KHG (B)
SN6J	via	SP6FHU (B)	TM1Ø5BDC	via	F8KGN (B)
SN89LOT	via	SP1PMY (B)	TM11SRY	via	F5KCC
SN8K	via	SQ8ERS (B), (L)	TM13COL	via	F5OGL (L)
SN65PLU		(B)	TM17FFF	via	F4GFE
SN95PRK	via	SQ9FMU (B)	TM17MGF	via	F5KLJ (B)
SOØKBW	via	SP3PDO (B)	TM1SSOU	via	F6KGL
SO95PRK	via	SP9WZO	TM2ØØLP	via	F8GGZ (B)
SP65PLU		(B)	TM22CAD	via	F1LPT ((e) only)
SP77DIORA	via	SP6PZB (B)	TM2ALMA	via	F5PTA (d), (e)
SP9ØENG	via	SP3PDO (B)	TM2D	via	F5KHP (e)
SP9ØENIGMA	via	SP3PGR (B)	TM2LD	via	F4GQP (B)
			TM34SCRIP	via	F5JBU (d), (B)
			TM35FIST	via	F6JOE (d), (B)

TM36EUDX	via	PA1AW (B), (L)	VJ4K	via	N3SL (B), (L), (e)
TM3CNR	via	F5PTA nur (e)	VJ4T	via	VK4QH (L), (e)
TM3GGR	via	F6KUF (B); F5OEV (d)	VL2B	via	VK2BJ ((L) only)
TM3Z	via	F4DSK (B)	VL2G	via	VK2GR ((L) only)
TM400MO	via	F4DTO (B)	VL2N	via	VK2PN ((L))
TM5ØARML	via	F4ILK (B), (e)	VL3E	via	VK3TZ and (L)
TM50FIBD	via	F5PTI and LoTW	VL6C	via	VK6IR (O) und (L)
TM50KGI	via	F4HSQ	VP2ETE	via	W3HNK, (L)
TM50SC	via	F6PCT	VP2MDX	via	W2APF (B), (L)
TM50VAR	via	F4GPB (d), (B)	VP2MJA	via	VE3WB
TM55TDL	via	F4IVC (d), (e)	VP8TAA/p	via	MØOXO (B- <u>O</u>), (L)
TM5TD	via	F6KMB	VP9/N8QNT	via	N8QNT (B)
TM55SNSM	via	F4GPB (B), (e)	VP9/SP9FIH	via	SP9FIH
TM59TDF	via	F8KGS	VP9IN	via	EC6DX (d)
TM62YT	via	F4GYG (e)	VKØWN	via	VK7WN (B), (L)
TM65M	via	F5RAB	VK36EUDXF	via	VK2WN, (L), (e)
TM72LMC	via	F1IEH (L)	VK5X	via	VK5XDX ((L))
TM72WOW	via	F1IEH (d)	VK6T	via	EA7FTR (d), (L)
TM74CHX	via	F4IRT (B), (L), (e)	VK75FAA	via	VK2YVA (B)
TM78DP	via	F4GPB (B), (e)	VK8NSB	via	M0URX (O) und (L)
TM8AB	via	F4KJQ	VK9C	via	EB7DX (d), (L), (e)
TM8GE	via	F6KFI (B)	VK9CM	via	EB7DX (d), (L), (e)
TM8R	via	F5BNJ (B), (L)	VK9DX	via	VK2DX (d), (L)
TM80NT	via	F8GGZ	VK9MTO	via	ZL1MTO (d \$5 PayPal), (L)
TM90GF	via	F4KLR (B), (e)	VK9XX	via	EB7DX (d), (L)
TM100UNOR	via	REF-Bureau	VK90ABC	via	VK1RAS (L), (e) only
TO2DL	via	DL7DF (O), (L)	VX2I	via	F5JYD (B), (d), (L)
TO5A	via	F5VHJ (B), (L)	VR25RC	via	VR2RC
TO9W	via	W9ILY (O), (L)	VR25XMT	via	VR2XMT (d), (L)
TR8CR	via	F6AJA (B)	VP2MDX	via	W2APF (B), (L)
TT8SN	via	F8FQX	VP5Y	via	VE3RZ
TX7G	via	F6BCW (B,automatisch)	VP8TAA	via	M0OXO (O), (L)
TY0RU	via	R7AL (O), (L)	WØ /VK3BDL	via	VK3BDL
TY5AF	via	(O), (L)	W2/JR1AQN	via	JR1AQN (B), (L), (e)
TZ4AM	via	W0SA (B), (L)	W7/KH7X	via	KH7X (d), (B)
UE23NY	via	RQ7L	W8W	via	W8KVK (d), (e)
UE32DX	via	RQ7L	XE1HG	via	EA5GL (d), (L)
UG5F	via	RW3DSR (d), (L), (e)	XE3E	via	EA5ZD (d), (L)
UR5FSP/mm	via	UR5FSP (d), (L)	XF1S	via	IT9EJW (B)
V26K	via	AA3B (B), (L), (e)	XIØX	via	XE1KK (nur (L))
V26OC	via	N3OC (d), (L)	XM3A	via	VE3NOO (B), (e)
V31TX	via	DJ5QW (B)	XP3A	via	PA3249 (d), (L), (e)
V31XX	via	K4XS (d)	XT2AW	via	M0OXO (O) und (L)
V4/NT5V	via	NT5V (B), (L)	XV9BPO	via	EA5GL und (L)
V47FWX	via	MØURX (O), (L)	XV9SB	via	WB4SAB (d)
V48A	via	WX4G (B), (L), (e)	XV9K	via	DJ6TF (B), (L)
V48DM	via	N4GNR (B), (L)	XW4KV	via	F4BKV (B), (L)
V5/HB9BFM	via	HB9BFM (B), (L)	XZ2B	via	JH3SIF (B), (L)
V5/ZS1WO	via	DH3WO (B)	YB0AR	via	EB7DX (d) und (L)
V51LZ	via	EA5GL (B), (L), (e)	YBØECT	via	W2FB (d), (L)
V73MS	via	WV7MS (d), (L)	YB8QT	via	IK2DUW (d), (L)
V85/F5NPV	via	F5NPV (L), (e)	YH0R		(B), (L), (e)
V85NPV	via	nur (e) & (L)	YJØAUS	via	F6BFH (B), (*)
VB4LIGMA	via	A4BEN	YJØCA	via	VK2YUS (d)
VE2PEACE	via	VE2JCW (d)	YJØDA	via	VK4MAP (d)
VE3KTB/VY0	via	M0OXO (O), (L)	YK1AA	via	F6BFH (B), (*)
VG5DX	via	VA5DX (d)	YO3IMD	via	YO3KPA (B), (L)
VJ2J	via	VK2CZ (d)	YO8/LZ4UU	via	LZ4UU (B), (e)
VJ3A	via	VK3JA and (L)			

YP8XMAS	via	YO2MSB (B), (e)
YR1400VT	via	YO6KGS (e)
YR12ØØVT	via	(e) oder qrz.com
YR2X	via	YO2LEA (B), (e)
YS1RR	via	F6BFH (B), (*)
YR6MUSEUM	via	YO6KNE (B), (L)
YU/OK1ARI/p	via	OK1ARI (auch (e))
Z21LS	via	DE1ZHB (B), 7Z1HB (d)
Z66BCC	via	DL2JRM (B)
Z68EE	via	OZ2I (B), (L)
Z66X	via	OH2BH (B), (L)
Z68XX	via	DL2JRM (B)
ZA/OE6TQG	via	OE6TQG and (e)
ZA/OE8NDR	via	DE1QSL
ZA/SQ9MDF/p	via	SQ9MDF (B)
ZF1A	via	K7ZO (O), (L), (d), (B)
ZF1A	via	K7ZO (B), (L)
ZF2IT		nur (L)
ZF2MJ	via	N6MJ and (L)
ZF2RX	via	KC1KUG
ZL1X	via	ZL1BVA (e)
ZL4/VE6TC	via	VE6TC (L), (e)
ZL7/K5WE	via	K5WE (d), (L)
ZL7/ZL1VV		(L)
ZP4/PY5ZUE	via	DL7UE (L)
ZV2X	via	PY2YVN
ZV8C	via	PQ8SL (d), (L)
ZW2ØØESQ	via	PY1JR (B)
ZW2A	via	PY2SGL (d), (B), (L)
ZW7I	via	PY7WM (B), (L)
ZX8F	via	PS8RV (B), (L)
ZY0FUN	via	PY2RN ((O)), (L)
ZZ1S	via	PY1IO (d), (LO)
ZZ2OO	via	(B), (L)
ZZ4A	via	PX4DX (d), (L)

ARLHS	Amateur Radio Lighthouse Society
DCI	D.C.I. (Diploma Castelli Italia) http://www.dcia.it/dci/
DCPC	D.C.P.C. (Diploma Castelli Provincia Cuneo)
DFCF	Diplome des Forts et Chateaux de France
DIFM	Diplôme des Iles de la France Métropolitaine
H/c	Homecall
ILLW	International Lighthouse Lightship Weekend
IOCA	Islands Of Croatia Award
IOTA	Islands on the Air
(L)	Logbook of the World
(O)	Online QSL Request System
POTA	Parks On The Air
RDA	Russian District's Award Program
RLHA	Russian Lighthouse Award
SNSM	Société Nationale des Sauveteurs en Mer
URE	Unión de Radioaficionados Españoles
WCA	World Castles Award
WLOTA	World Lighthouse On The Air Award
WRTC	World Radiosport Team Championship
WWFF	World Wide Flora & Fauna
YOTA	Youth On The Air

(d) = direkt (B) = Büro ok
(L) = (L) (O) = (OQRS-B)
(C) = ClubLog (e) = (e)
(*) = neuer Manager (Q) = QRZ.COM
H/c = Homecall

*** Aufgrund der anhaltenden und sich ständig ändernden Situation von COVID-19 auf der ganzen Welt, können die angekündigten Aktivitäten ohne vorherige Ankündigung verkürzt, verschoben oder **sogar abgesagt werden.** ***

Abkürzungen:

Wir bedanken uns für die Mitarbeit an dieser Ausgabe bei: 1I1JQJ/IK1ADH & 425 DX News, DX World, DXNews.com, VA3RJ, KB8NW & OPDX-Bulletin, DF6EX (für WIN-QSL), DL1BAH, DL1SBF, DL3FF, DL7MAE, EA3HKY, UA1OBA, F6AJA & Les Nouvelles DX, Islands On The Air, NG3K & ADXO, OE2IKN, OM3JW & IDXP, OZ6OM & 50 MHz DX News, W3UR & The Daily DX ...u.a.

Kostenloses Abo DXMB / DXNL:

DXMB Abonnement / DXNL Subscription
<https://www.darcxhf.de/dxmb/>
PDF-Version in Deutsch (farbig, mit Bildern):
<https://www.darc.de/der-club/referate/dx/dxmb/>
TXT-Version deutsch (nur Text, ohne Bilder):
<https://www.darc.de/der-club/referate/dx/dxmb/>



TXT-Version englisch (nur Text, ohne Bilder):
<https://www.darc.de/der-club/referate/dx/en/dxn/>

Archiv:
<https://www.darc.de/der-club/referate/dx/dxmb/>

DXMB-Homepage:
<https://www.darc.de/der-club/referate/dx/dxmb/>